



Laboratorium Badań Środowiskowych  
ul. Józefa Piusa Dziekońskiego 3  
00-728 Warszawa  
e-mail: [Laboratorium@networks.pl](mailto:Laboratorium@networks.pl)



AB 419

S P R A W O Z D A N I E 9818/2021/OS  
Z POMIARÓW PÓL ELEKTROMAGNETYCZNYCH  
WYKONANYCH DLA POTRZEB OCHRONY ŚRODOWISKA

Badany obiekt: Instalacja radiokomunikacyjna T-Mobile Polska S.A.  
Numer i nazwa: 32018 (42018N!) GKO\_KOSZALIN\_ZUBRZYCKIEGO3  
Adres: KOSZALIN, LEONA ZBIGNIEWA ZUBRZYCKIEGO 3 a,b,c,d,Powiat m. Koszalin, WOJ.  
ZACHODNIOPOMORSKIE

Data wykonania pomiarów: 2022-02-03

Sprawozdanie z badań bez pisemnej zgody laboratorium nie może być powielane inaczej niż w całości.  
Wynik przedstawione w niniejszym sprawozdaniu odnoszą się wyłącznie do badanego obiektu i do warunków i konfiguracji urządzeń w dniu wykonywania pomiarów.

**1. Właściciel badanego obiektu:**

T-Mobile Polska S.A., ul. Marynarska 12, 02-674 Warszawa

**2. Zleceniodawca:**

T-Mobile Polska S.A., ul. Marynarska 12, 02-674 Warszawa

**3. Przedstawiciel zleceniodawcy:**

NetWorkS! Sp.z o.o.

**4. Zakres zlecenia:**

Wykonanie badania i opracowanie sprawozdania z pomiarów natężenia pola elektrycznego i pola magnetycznego dla instalacji radiokomunikacyjnej T-Mobile Polska S.A. zlokalizowanej w miejscowości KOSZALIN, LEONA ZBIGNIEWA ZUBRZYCKIEGO 3 a,b,c,d.

**5. Cel zlecenia:**

Wykonanie pomiarów pól elektromagnetycznych w otoczeniu instalacji radiokomunikacyjnej 32018 (42018N!) GKO\_KOSZALIN\_ZUBRZYCKIEGO3 w odniesieniu do wymagań określonych w *Rozporządzeniu Ministra Klimatu z dnia 17 lutego 2020 r. w sprawie sposobów sprawdzania dotrzymania dopuszczalnych poziomów pól elektromagnetycznych w środowisku (Dz. U. 2020, poz. 258)*.

**6. Pomiary zostały wykonane przez:**

Mach Janusz  
Nowak Paweł

**7. Informacje o źródłach pól elektromagnetycznych**

**7.1. Sposób identyfikacji badanych źródeł pól elektromagnetycznych**

Identyfikacji źródeł i parametrów technicznych dokonano na podstawie analizy dokumentacji dotyczącej zlecenia oraz obserwacji miejsca wykonywania badań.

**7.2. Opis miejsca zainstalowania anten i urządzeń technicznych. Opis obiektu badań i jego otoczenia**

Instalacja radiokomunikacyjna zlokalizowana jest na dachu. Anteny zawieszono na masztach usytowanych na dachu budynku. Urządzenia sterujące oraz zasilające zainstalowano w kontenerze na dachu budynku. Wokół instalacji znajduje się miasto.

Instalacja radiokomunikacyjna jest obiektem bezobsługowym. Okresowe stanowiska pracy związane są z prowadzonymi w zależności od potrzeb konserwacjami, przeglądami, strojeniem i naprawami.

Sprawozdanie z badań bez pisemnej zgody laboratorium nie może być powielane inaczej niż w całości.  
Wynik przedstawione w niniejszym sprawozdaniu odnoszą się wyłącznie do badanego obiektu i do warunków i konfiguracji urządzeń w dniu wykonywania pomiarów.

### 7.3. Parametry techniczne źródła pola elektromagnetycznego

Dane przedstawiające maksymalne parametry pracy instalacji przekazane przez zleceniodawcę:

Parametry systemu nadawczo-odbiorczego:

Charakterystyka promieniowania		kierunkowa					
Rzeczywisty czas pracy [h/dobę]		24					
Warunki pracy		znamionowe					
Rodzaj wytwarzanego pola		stacjonarne					
Lp.	Częstotliwość lub zakresy częstotliwości pracy [MHz]	Typ/producent anteny	liczba anten	Azymut [°]	kąt pochylenia* [°]	Wysokość środka elektrycznego anteny [m n.p.t.]	Równoważna moc promieniowana izotropowo (EIRP) [W]
1	900/1800/2100	ATR4518R13v06 Huawei	1	70	2/4/4	23.8	5068
2	800/2600	ATR4518R13 Huawei	1	70	2/2	23.8	5818
3	900/1800/2100	ATR4518R13v06 Huawei	1	185	5/5/5	23.8	5068
4	800/2600	ATR4518R13 Huawei	1	185	3/3	23.8	5818
5	900/1800/2100	ATR4518R13v06 Huawei	1	320	2/2/2	23.8	5068
6	800/2600	ATR4518R13 Huawei	1	320	2/2	23.8	5818

\* wskazane wartości kąta pochylenia anten, zgodnie z informacją uzyskaną od zleceniodawcy, są wartościami stałymi

Transmisja realizowana drogą kablową

### 7.4 Inne źródła pól elektromagnetycznych

Na podstawie informacji otrzymanych od użytkownika oraz obserwacji otoczenia miejsca wykonywania pomiarów oraz nie stwierdzono występowania innych źródeł pola-EM

## 8. Opis pomiarów

### 8.1. Metoda badań

Zgodna z rozporządzeniem Ministra Klimatu z dnia 17 lutego 2020 r. w sprawie sposobów sprawdzania dotrzymania dopuszczalnych poziomów pól elektromagnetycznych w środowisku (Dz. U. 2020, poz. 258), określona w pkt 25 ppkt 1 załącznika do niniejszego rozporządzenia.

Zgodnie z art. 122a ust. 1b ustawy Prawo Ochrony Środowiska, w przypadku wprowadzenia na części albo całym terytorium Rzeczypospolitej Polskiej stanu nadzwyczajnego, o którym mowa w art. 228 ust. 1 Konstytucji Rzeczypospolitej Polskiej z dnia 2 kwietnia 1997 r. (Dz. U. poz. 483, z 2001 r. poz. 319, z 2006 r. poz. 1471 oraz z 2009 r. poz. 946), lub stanu zagrożenia epidemicznego lub stanu epidemii, o których mowa w art. 46 ustawy z dnia 5 grudnia 2008 r. o zapobieganiu oraz zwalczaniu zakażeń i chorób zakaźnych u ludzi (Dz. U. z 2019 r. poz. 1239, z późn. zm.8) ), pomiarów , nie przeprowadza się w lokalach mieszkalnych oraz w lokalach użytkowych zlokalizowanych na terytorium objętym stanem nadzwyczajnym, stanem zagrożenia epidemicznego lub stanem epidemii.

W związku z obecnie obowiązującym stanem epidemii, pomiarów nie wykonano w lokalach mieszkalnych oraz w lokalach użytkowych zlokalizowanych w obszarze pomiarowym przedmiotowej instalacji radiokomunikacyjnej.

### 8.2. Termin pomiarów i warunki środowiskowe

Podczas wykonywania pomiarów pól elektromagnetycznych nie występowały opady atmosferyczne. Wyniki pomiaru parametrów pogodowych przedstawia poniższa tabela:

Sprawozdanie z badań bez pisemnej zgody laboratorium nie może być powielane inaczej niż w całości.  
Wynik przedstawione w niniejszym sprawozdaniu odnoszą się wyłącznie do badanego obiektu i do warunków i konfiguracji urządzeń w dniu wykonywania pomiarów.

Data [rrrr-mm-dd]	Godzina [hh:mm-hh:mm]	Warunki środowiskowe			
		Temperatura [°C]		Wilgotność względna [%]	
2022-02-03	12:05-13:20	Przed pomiarem	Po pomiarach	Przed pomiarem	Po pomiarach
		1	0.8	70.5	70.1

Przedstawione wyżej warunki środowiskowe, występujące podczas wykonywania pomiarów pól elektromagnetycznych, są zgodne ze specyfikacją techniczną użytego zestawu pomiarowego.

### 8.3. Warunki pracy urządzeń nadawczych

Podczas pomiarów zostały uwzględnione poprawki pomiarowe przekazane przez zleceniodawcę, umożliwiające uwzględnienie maksymalnych parametrów pracy instalacji zgodnie z pkt 7 załącznika do Rozporządzeniem Ministra Klimatu z dnia 17 lutego 2020 r. w sprawie sposobów sprawdzania dotrzymania dopuszczalnych poziomów pól elektromagnetycznych w środowisku (Dz. U. 2020, poz. 258).

### 8.4. Wyposażenie pomiarowe

Zestaw pomiarowy służący do pomiaru natężenia składowej elektrycznej pola elektromagnetycznego złożony z szerokopasmowego miernika i sondy pomiarowej:

Oznaczenie miernika	Producent	Model	Numer fabryczny	Oznaczenie sondy	Producent	Model	Numer fabryczny
M-22	Narda Safety Test Solution	Miernik pól elektromagnetycznych NBM-550	H-0487	S-29	Narda Safety Test Solution	Sonda EF9091	A-0069

Mierniki natężenia pola elektromagnetycznego podlegają okresowemu sprawdzeniu zgodnie z procedurą wewnętrzną P-03 i PB-01. Świadectwo wzorcowania zestawu pomiarowego z dnia 2 czerwca 2020 o numerze LWiMP/W/165/20 wydane przez Laboratorium Wzorców i Metrologii Pola Elektromagnetycznego (LWiMP) Politechniki Wrocławskiej. Data ważności świadectwa wzorcowania: 2 czerwca 2022 (zgodnie z procedurą wewnętrzną P-03).

Termohigrometr:

Oznaczenie:	TH-11	Producent:	AZ INSTRUMENT CORP	Model:	Termohigrometr AZ8706
-------------	-------	------------	--------------------	--------	-----------------------

Data ważności świadectwa wzorcowania: 20 maja 2023 (zgodnie z procedurą wewnętrzną P-03).

Dalmierz:

Oznaczenie	Producent	Typ	Numer seryjny	Nr świadectwa wzorcowania	Data świadectwa wzorcowania
D-08	Leica	Dalmierz Leica Disto D510	1042957273	4609.4-M11-4180-1748/14	9 stycznia 2015

Data ważności świadectwa wzorcowania: 9 stycznia 2025 (zgodnie z procedurą wewnętrzną P-03).

## 9. Wyniki pomiarów

Pole elektryczne

Nr pionu	Opis umiejscowienia pionu (punktu) pomiarowego	Wysokość pomiaru [m]	Zmierzona wartość natężenia pola elektrycznego E [V/m] <sup>1,5</sup>	Wartość natężenia pola elektrycznego po uwzględnieniu poprawek pomiarowych powiększona o niepewność pomiaru <sup>4</sup> E [V/m]	Wskaźnikowa wartość poziomu emisji pól elektromagnetycznych WME <sup>3</sup>	Współrzędne geograficzne pionu (punktu) pomiarowego <sup>2</sup>
1	PPP na klatce schodowej ostatniego piętra budynku na którym zainstalowano stację bazową	0,3-2,0	<1,0	2.5	0.09	54°11'57.48" 16°12'24.12"
2	PPP w oknie klatki schodowej ostatniego piętra budynku, ul. Zubrzyckiego 3d	0,3-2,0	<1,0	2.5	0.09	54°11'55.679" 16°12'24.84"
3	PPP w oknie klatki schodowej ostatniego piętra budynku, ul. Giełdowa 10d	0,3-2,0	<1,0	2.5	0.09	54°11'55.32" 16°12'22.319"
4	PPP w oknie klatki	0,3-2,0	<1,0	2.5	0.09	54°11'56.76"

Sprawozdanie z badań bez pisemnej zgody laboratorium nie może być powielane inaczej niż w całości. Wynik przedstawione w niniejszym sprawozdaniu odnoszą się wyłącznie do badanego obiektu i do warunków i konfiguracji urządzeń w dniu wykonywania pomiarów.

	schodowej ostatniego piętra budynku, ul. Giełdowa 12d					16°12'21.599"
5	PPP na klatce schodowej ostatniego piętra budynku, ul. Giełdowa 16b	0,3-2,0	<1,0	2.5	0.09	54°11'58.92" 16°12'22.679"
6	PPP na klatce schodowej ostatniego piętra budynku, ul. Zubrzyckiego 5c	0,3-2,0	<1,0	2.5	0.09	54°11'58.559" 16°12'25.56"
7	GKP w odległości 4m od anteny sektorowej az. 320°	0,3-2,0	<1,0	2.5	0.09	54°11'58.2" 16°12'23.399"
8	GKP w odległości 22m od anteny sektorowej az. 320°	0,3-2,0	<1,0	2.5	0.09	54°11'58.559" 16°12'22.679"
9	GKP w odległości 53m od anteny sektorowej az. 320°	0,3-2,0	<1,0	2.5	0.09	54°11'59.28" 16°12'21.599"
10	GKP w odległości 88m od anteny sektorowej az. 320°	0,3-2,0	<1,0	2.5	0.09	54°12'0.359" 16°12'20.52"
11	GKP w odległości 6m od anteny sektorowej az. 70°	0,3-2,0	<1,0	2.5	0.09	54°11'58.2" 16°12'23.76"
12	GKP w odległości 28m od anteny sektorowej az. 70°	0,3-2,0	<1,0	2.5	0.09	54°11'58.2" 16°12'25.2"
13	GKP w odległości 73m od anteny sektorowej az. 70°	0,3-2,0	<1,0	2.5	0.09	54°11'58.92" 16°12'27.359"
14	GKP w odległości 4m od anteny sektorowej az. 185°	0,3-2,0	<1,0	2.5	0.09	54°11'57.119" 16°12'24.12"
15	GKP w odległości 28m od anteny sektorowej az. 185°	0,3-2,0	<1,0	2.5	0.09	54°11'56.399" 16°12'23.76"
16	GKP w odległości 67m od anteny sektorowej az. 185°	0,3-2,0	<1,0	2.5	0.09	54°11'55.32" 16°12'23.76"
17	PPP na az. 196° w odległości 57m od anteny sektorowej az. 185°	0,3-2,0	<1,0	2.5	0.09	54°11'55.679" 16°12'23.039"
18	PPP na az. 175° w odległości 44m od anteny sektorowej az. 185°	0,3-2,0	<1,0	2.5	0.09	54°11'56.04" 16°12'24.12"
19	PPP na az. 244° w odległości 30m od anteny sektorowej az. 185°	0,3-2,0	<1,0	2.5	0.09	54°11'56.76" 16°12'22.679"
20	PPP na az. 290° w odległości 53m od anteny sektorowej az. 320°	0,3-2,0	<1,0	2.5	0.09	54°11'58.559" 16°12'20.879"
21	PPP na az. 45° w odległości 62m od anteny sektorowej az. 70°	0,3-2,0	<1,0	2.5	0.09	54°11'59.639" 16°12'25.92"
22	PPP na az. 14° w odległości 52m od anteny sektorowej az. 70°	0,3-2,0	<1,0	2.5	0.09	54°11'59.639" 16°12'24.12"
23	PPP na az. 118° w odległości 72m od anteny sektorowej az. 70°	0,3-2,0	<1,0	2.5	0.09	54°11'57.119" 16°12'26.999"
-	GKP w odległości 122m od anteny sektorowej az. 320°	0,3-2,0	<1,0	2.5	0.09	54°12'1.079" 16°12'19.08"
-	GKP w odległości 240m od anteny sektorowej az. 320°	0,3-2,0	<1,0	2.5	0.09	54°12'3.959" 16°12'15.12"
-	GKP w odległości 120m od anteny sektorowej az. 70°	0,3-2,0	<1,0	2.5	0.09	54°11'59.28" 16°12'29.88"

Sprawozdanie z badań bez pisemnej zgody laboratorium nie może być powielane inaczej niż w całości.  
Wynik przedstawione w niniejszym sprawozdaniu odnoszą się wyłącznie do badanego obiektu i do warunków i konfiguracji urządzeń w dniu wykonywania pomiarów.

-	GKP w odległości 239m od anteny sektorowej az. 70°	0,3-2,0	<1,0	2.5	0.09	54°12'0.72" 16°12'36"
-	GKP w odległości 120m od anteny sektorowej az. 185°	0,3-2,0	<1,0	2.5	0.09	54°11'53.519" 16°12'23.399"
-	GKP w odległości 256m od anteny sektorowej az. 185°	0,3-2,0	<1,0	2.5	0.09	54°11'49.2" 16°12'22.679"

Pole magnetyczne (wyznaczone na podstawie pomiaru wartości natężenia pola elektrycznego)

Nr pionu	Opis umiejscowienia pionu (punktu) pomiarowego	Wysokość pomiaru [m]	Wartość natężenia pola magnetycznego H [A/m] <sup>1</sup>	Wartość natężenia pola magnetycznego po uwzględnieniu poprawek pomiarowych powiększona o niepewność pomiaru <sup>4</sup> H [A/m]	Wskaźnikowa wartość poziomu emisji pól elektromagnetycznych WM <sub>H</sub> <sup>3</sup>	Współrzędne geograficzne pionu (punktu) pomiarowego <sup>2</sup>
1	PPP na klatce schodowej ostatniego piętra budynku na którym zainstalowano stację bazową	0,3-2,0	<0.003*	0.007	0.09	54°11'57.48" 16°12'24.12"
2	PPP w oknie klatki schodowej ostatniego piętra budynku, ul. Zubrzyckiego 3d	0,3-2,0	<0.003*	0.007	0.09	54°11'55.679" 16°12'24.84"
3	PPP w oknie klatki schodowej ostatniego piętra budynku, ul. Giełdowa 10d	0,3-2,0	<0.003*	0.007	0.09	54°11'55.32" 16°12'22.319"
4	PPP w oknie klatki schodowej ostatniego piętra budynku, ul. Giełdowa 12d	0,3-2,0	<0.003*	0.007	0.09	54°11'56.76" 16°12'21.599"
5	PPP na klatce schodowej ostatniego piętra budynku, ul. Giełdowa 16b	0,3-2,0	<0.003*	0.007	0.09	54°11'58.92" 16°12'22.679"
6	PPP na klatce schodowej ostatniego piętra budynku, ul. Zubrzyckiego 5c	0,3-2,0	<0.003*	0.007	0.09	54°11'58.559" 16°12'25.56"
7	GKP w odległości 4m od anteny sektorowej az. 320°	0,3-2,0	<0.003*	0.007	0.09	54°11'58.2" 16°12'23.399"
8	GKP w odległości 22m od anteny sektorowej az. 320°	0,3-2,0	<0.003*	0.007	0.09	54°11'58.559" 16°12'22.679"
9	GKP w odległości 53m od anteny sektorowej az. 320°	0,3-2,0	<0.003*	0.007	0.09	54°11'59.28" 16°12'21.599"
10	GKP w odległości 88m od anteny sektorowej az. 320°	0,3-2,0	<0.003*	0.007	0.09	54°12'0.359" 16°12'20.52"
11	GKP w odległości 6m od anteny sektorowej az. 70°	0,3-2,0	<0.003*	0.007	0.09	54°11'58.2" 16°12'23.76"
12	GKP w odległości 28m od anteny sektorowej az. 70°	0,3-2,0	<0.003*	0.007	0.09	54°11'58.2" 16°12'25.2"
13	GKP w odległości 73m od anteny sektorowej az. 70°	0,3-2,0	<0.003*	0.007	0.09	54°11'58.92" 16°12'27.359"
14	GKP w odległości 4m od anteny sektorowej az. 185°	0,3-2,0	<0.003*	0.007	0.09	54°11'57.119" 16°12'24.12"
15	GKP w odległości 28m od anteny sektorowej az. 185°	0,3-2,0	<0.003*	0.007	0.09	54°11'56.399" 16°12'23.76"
16	GKP w odległości 67m od anteny sektorowej az. 185°	0,3-2,0	<0.003*	0.007	0.09	54°11'55.32" 16°12'23.76"
17	PPP na az. 196° w odległości 57m od	0,3-2,0	<0.003*	0.007	0.09	54°11'55.679" 16°12'23.039"

Sprawozdanie z badań bez pisemnej zgody laboratorium nie może być powielane inaczej niż w całości.  
Wynik przedstawione w niniejszym sprawozdaniu odnoszą się wyłącznie do badanego obiektu i do warunków i konfiguracji urządzeń w dniu wykonywania pomiarów.

	anteny sektorowej az. 185°					
18	PPP na az. 175° w odległości 44m od anteny sektorowej az. 185°	0,3-2,0	<0.003*	0.007	0.09	54°11'56.04" 16°12'24.12"
19	PPP na az. 244° w odległości 30m od anteny sektorowej az. 185°	0,3-2,0	<0.003*	0.007	0.09	54°11'56.76" 16°12'22.679"
20	PPP na az. 290° w odległości 53m od anteny sektorowej az. 320°	0,3-2,0	<0.003*	0.007	0.09	54°11'58.559" 16°12'20.879"
21	PPP na az. 45° w odległości 62m od anteny sektorowej az. 70°	0,3-2,0	<0.003*	0.007	0.09	54°11'59.639" 16°12'25.92"
22	PPP na az. 14° w odległości 52m od anteny sektorowej az. 70°	0,3-2,0	<0.003*	0.007	0.09	54°11'59.639" 16°12'24.12"
23	PPP na az. 118° w odległości 72m od anteny sektorowej az. 70°	0,3-2,0	<0.003*	0.007	0.09	54°11'57.119" 16°12'26.999"
-	GKP w odległości 122m od anteny sektorowej az. 320°	0,3-2,0	<0.003*	0.007	0.09	54°12'1.079" 16°12'19.08"
-	GKP w odległości 240m od anteny sektorowej az. 320°	0,3-2,0	<0.003*	0.007	0.09	54°12'3.959" 16°12'15.12"
-	GKP w odległości 120m od anteny sektorowej az. 70°	0,3-2,0	<0.003*	0.007	0.09	54°11'59.28" 16°12'29.88"
-	GKP w odległości 239m od anteny sektorowej az. 70°	0,3-2,0	<0.003*	0.007	0.09	54°12'0.72" 16°12'36"
-	GKP w odległości 120m od anteny sektorowej az. 185°	0,3-2,0	<0.003*	0.007	0.09	54°11'53.519" 16°12'23.399"
-	GKP w odległości 256m od anteny sektorowej az. 185°	0,3-2,0	<0.003*	0.007	0.09	54°11'49.2" 16°12'22.679"

GKP – Główny Kierunek Pomiarowy

PPP – Pomocniczy Pion pomiarowy

<sup>1</sup> wyniki oznaczone \* są wynikami poniżej czułości zestawu pomiarowego

<sup>2</sup> współrzędne geograficzne pozyskane metodą obliczeniową w oparciu o pomiar punktu referencyjnego

<sup>3</sup> do wyznaczenia wartości wskaźnikowej WMe i WMH przyjęto na podstawie uzgodnień z klientem oraz rozpoznania źródeł, jako wartości dopuszczalne pola elektrycznego i magnetycznego odpowiednio 28 V/m i 0,073 A/m.

<sup>4</sup> do wyznaczenia niepewności dla wyników poniżej czułości zestawu pomiarowego, przyjęto niepewność dla minimalnej wartości z zakresu pomiarowego.

<sup>5</sup> maksymalna wartość chwilowa

Niepewność oszacowano zgodnie z dokumentem P-03 „Procedura nadzoru nad wyposażeniem” w postaci niepewności rozszerzonej wynikającej z niepewności standardowej pomnożonej przez współczynnik rozszerzenia k=2.

Całkowita szacowana niepewność rozszerzona składowej E wynosi odpowiednio: 51.9% dla częstotliwości do 60 GHz

Dla przedmiotowych pomiarów zleceniodawca określił poprawkę pomiarową = 1.65.

Umiejscowienie pionów (punktów) pomiarowych przedstawiono w nr 2 do niniejszego sprawozdania.

## 10. Omówienie wyników pomiarów

Wyniki pomiarów uzyskane zostały przy uwzględnieniu poprawek pomiarowych przekazanych przez zleceniodawcę, umożliwiających uwzględnienie maksymalnych parametrów pracy instalacji zleceniodawcy oraz innych operatorów występujących w obszarze pomiarowym.

W wyniku zastosowania sposobu sprawdzenia dotrzymania dopuszczalnych poziomów pól elektromagnetycznych w środowisku, zgodnie pkt 25 ppkt 1 Rozporządzenia Ministra Klimatu z dnia 17 lutego 2020 r. (Dz. U. 2020, poz. 258), w związku z tym, że żadna z

Sprawozdanie z badań bez pisemnej zgody laboratorium nie może być powielane inaczej niż w całości.

Wynik przedstawione w niniejszym sprawozdaniu odnoszą się wyłącznie do badanego obiektu i do warunków i konfiguracji urządzeń w dniu wykonywania pomiarów.

wartości wskaźnikowych, udokumentowanych w tabelach w pkt. 9 nie przekracza wartości 1, stwierdza się, że w miejscach, w których wykonano pomiary w otoczeniu instalacji radiokomunikacyjnej 32018 (42018N!) GKO\_KOSZALIN\_ZUBRZYCKIEGO3, dopuszczalne poziomy pól elektromagnetycznych w środowisku należy uznać za dotrzymane.

### **11. Podstawa prawna**

- 1) Ustawa z dnia 27 kwietnia 2001 r. Prawo ochrony środowiska (t. j. Dz. U. z 2020 r., poz. 1219 z późn.zm.)
- 2) Rozporządzenie Ministra Zdrowia z dnia 17 grudnia 2019 r. w sprawie dopuszczalnych poziomów pól elektromagnetycznych w środowisku (Dz. U. 2019, poz. 2448)
- 3) Rozporządzenie Ministra Klimatu z dnia 17 lutego 2020 r. w sprawie sposobów sprawdzania dotrzymania dopuszczalnych poziomów pól elektromagnetycznych w środowisku (Dz. U. 2020, poz. 258),
- 4) Akredytacja nr AB 419 wydana przez Polskie Centrum Akredytacji (wydanie 18, z dnia 10 listopada 2021r.).

### **12. Spis załączników**

- Załącznik 1. Lokalizacja obiektu badań
- Załącznik 2. Usytuowanie pionów (punktów) pomiarowych
- Załącznik 3. Dokumentacja fotograficzna obiektu badań

### **13. Data wydania i autoryzowania sprawozdania**

Obliczenia i sprawozdanie wykonał :

Sprawozdanie autoryzował:

**Koniec sprawozdania**

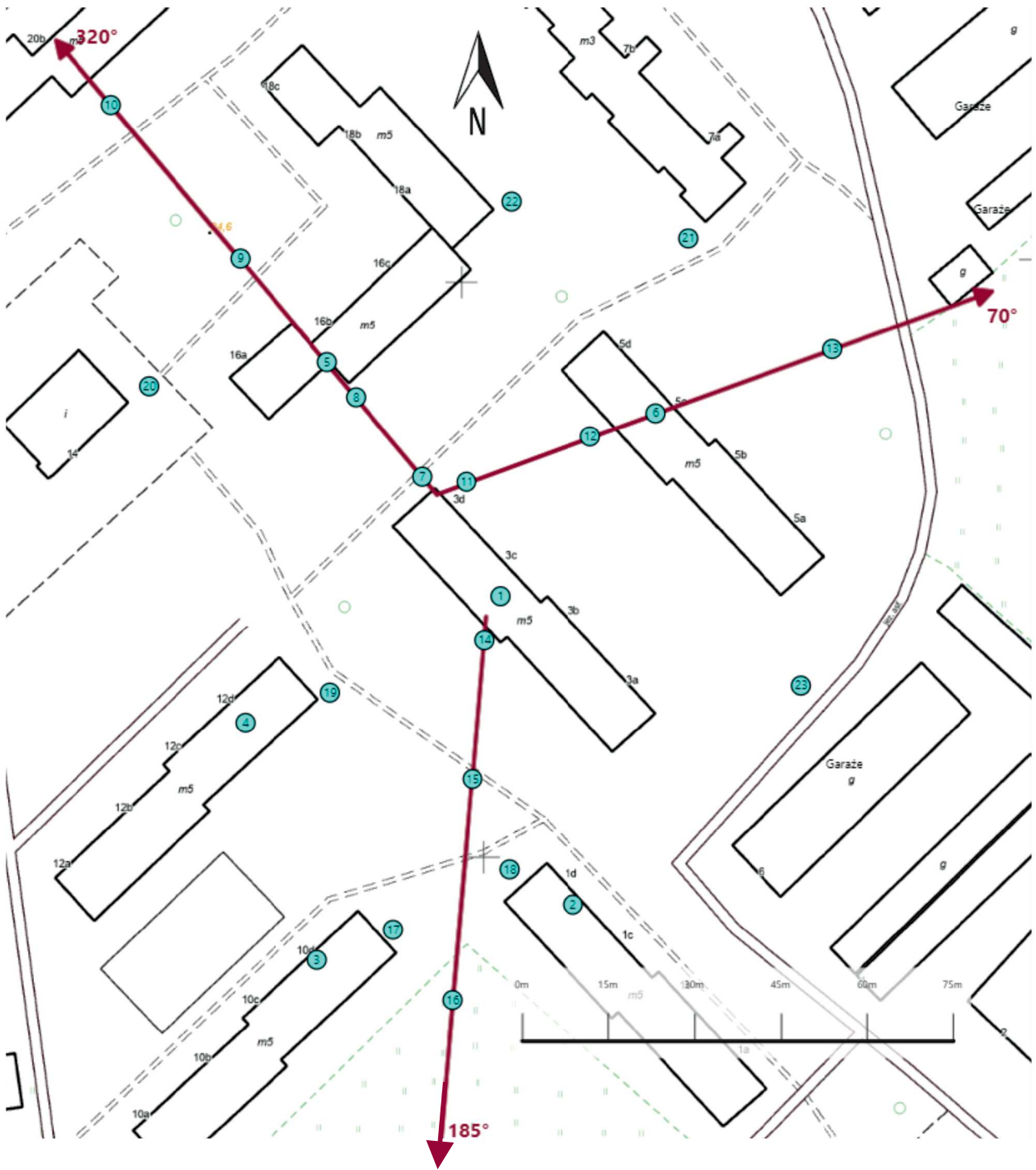
Sprawozdanie z badań bez pisemnej zgody laboratorium nie może być powielane inaczej niż w całości.  
Wynik przedstawione w niniejszym sprawozdaniu odnoszą się wyłącznie do badanego obiektu i do warunków i konfiguracji urządzeń w dniu wykonywania pomiarów.








Załącznik nr 1	<p><b>INSTALACJA RADIOKOMUNIKACYJNA T-Mobile Polska S.A. 32018 (42018N!) GKO_KOSZALIN_ZUBRZYCKIEGO3</b></p> <p>Lokalizacja instalacji radiokomunikacyjnej</p>
----------------	---

Sprawozdanie z badań bez pisemnej zgody laboratorium nie może być powielane inaczej niż w całości.  
Wynik przedstawione w niniejszym sprawozdaniu odnoszą się wyłącznie do badanego obiektu i do warunków i konfiguracji urządzeń w dniu wykonywania pomiarów.



<p>Załącznik nr 2</p>	<p style="text-align: center;">Instalacja radiokomunikacyjna T-Mobile Polska S.A.  <b>GKO_KOSZALIN_ZUBRZYCKIEGO (42018N!)</b>          Usytuowanie pionów pomiarowych w otoczeniu instalacji radiokomunikacyjnej</p>
<p>Legenda:</p>	<div style="display: flex; justify-content: space-around; align-items: center;"> <div style="text-align: center;">  <p>Pion pomiarowy</p> </div> <div style="text-align: center;">  <p>Kierunek oddziaływania anten sektorowych</p> </div> <div style="text-align: center;">  <p>Kierunek oddziaływania anten radioliniowych</p> </div> </div>



**Załącznik nr 3**

**INSTALACJA RADIOKOMUNIKACYJNA T-Mobile Polska S.A. 32018 (42018N!) GKO\_KOSZALIN\_ZUBRZYCKIEGO3**

Zdjęcia instalacji radiokomunikacyjnej

Sprawozdanie z badań bez pisemnej zgody laboratorium nie może być powielane inaczej niż w całości.  
Wynik przedstawione w niniejszym sprawozdaniu odnoszą się wyłącznie do badanego obiektu i do warunków i konfiguracji urządzeń w dniu wykonywania pomiarów.